

MATERIAŁY

**XI MIEDZYNARODOWEJ
NAUKOWI-PRAKTYCZNEJ KONFERENCJI**

**«NAUKOWA MYŚL
INFORMACYJNEJ POWIEKI -
2015»**

07-15 marca 2015 roku

Volume 14
Matematyka
Fizyka
Budownictwo i architektura
Nowoczesne informacyjne technologie
Techniczne nauki

Przemyśl
Nauka i studia
2015

ENERGETYKA

Нурмухамедова Т.К. Эффективность внедрения АСКУЭ в системе электроснабжения.....	67
Дорошенко О.Л., Борисенко С.О. Про оптимальне реактивне навантаження систем електропостачання споживачів електроенергії	69

ELEKTROTECHNIKA I RADIOELEKTRONIKA

Куцевол О.М., Куцевол М.О. Контроль зв'язаної вологи в капілярно-пористих і сипких матеріалах органічного походження	77
Канзафаров Ф.Я., Андреев В.Е., Дубинский Г.С. Планирование методов интенсификации притока нефти и увеличения нефтеотдачи с учетом свойств системы пласт-флюиды	80

LOTNICTWO I ASTRONAUTYKA

Середа В.А. Рациональный вид реактивной тележки для обеспечения оптимальных параметров старта легкого беспилотного летательного аппарата.....	84
--	----

GÓRNICZTWO

Нагорний В.П., Денисюк І.І. Спектральні характеристики акустичних хвиль з двотональною кутовою модуляцією	88
Чебан А.Ю., Хрунина Н.П., Леоненко Н.А. К вопросу интегрирования оптоволоконных лазеров в технологии горного производства	93

AUTOMATYZOWANE UKŁADY KIEROWNICZE NA PRODUKCJI

Ералиева Б.Ш. Использование вычислительных систем для научно-технических расчетов и моделирования.....	96
Ержан Ж.Ж. Разработка и внедрение систем менеджмента качества в строительной деятельности	100

OCHRONA PRACY

Batesova F.K., Pirmanova A.M., Pirzhanova G.I. The analysis of data on recycling of waste in kazakhstan.....	103
---	-----

ELEKTROTECHNIKA I RADIOELEKTRONIKA

К.т.н. Кущевол О. М., к.т.н. Кущевол М. О.

Вінницький національний аграрний університет, Україна

КОНТРОЛЬ ЗВ'ЯЗАНОЇ ВОЛОГИ В КАПІЛЯРНО-ПОРИСТИХ І СИПКИХ МАТЕРІАЛАХ ОРГАНІЧНОГО ПОХОДЖЕННЯ

Капілярно-пористі матеріали характеризуються значним вмістом зв'язаної вологи $W_{\text{зв}} = 5 \dots 15\%$, яка за своїми діелектричними властивостями відрізняється від вільної вологи. Діелектрична проникність вільної вологи $\epsilon_e = 80 \dots 81$, тоді як зв'язана влага має $\epsilon_{\text{зв}} = 2 \dots 3$, що незначно відрізняється від діелектричної проникності сухого залишку [1]. Така велика кількість зв'язаної вологи в капілярно-пористих матеріалах пояснюється наявністю в них значної площині внутрішньої поверхні пор, на якій утримується зв'язана влага у твердому стані.

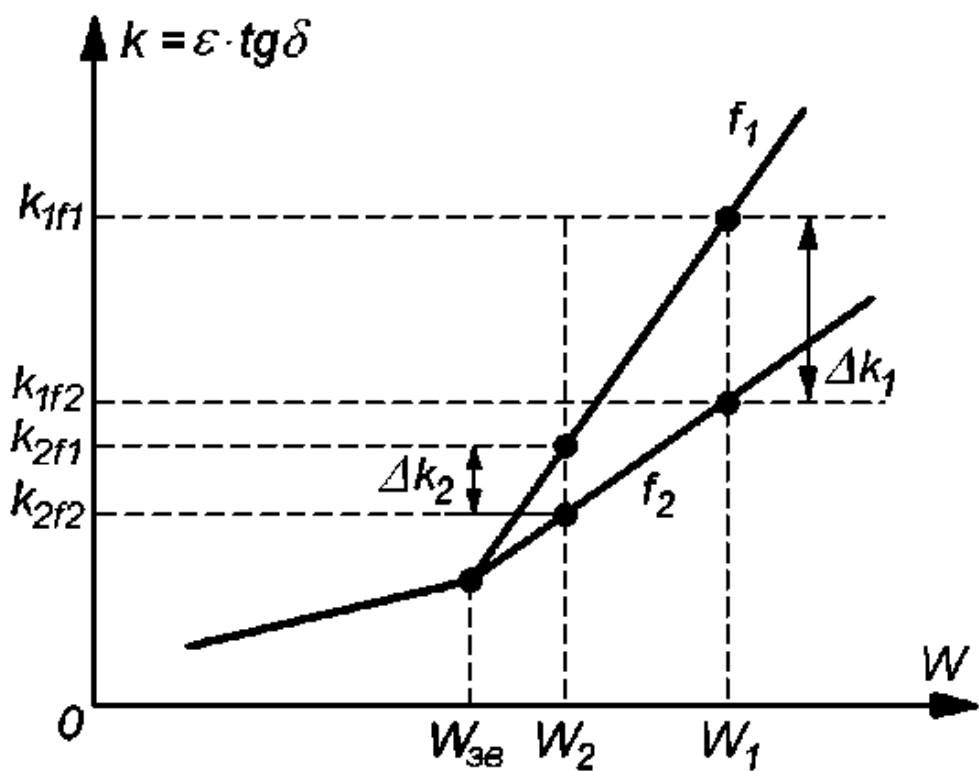


Рис.1. Залежність коефіцієнта діелектричних втрат матеріалу від вологості

Дослідження характеристик капілярно-пористих матеріалів [2] показали, що є можливість визначати як повну вологість матеріалів, так і кількість в них

зв'язаної вологи. В основу метода покладена залежність коефіцієнта діелектричних втрат k від вологості W (рис.1). Коефіцієнт діелектричних втрат вимірюється на двох радіочастотах f_1 та f_2 . При цьому вологості W_1 відповідатиме $\Delta k_1 = k_{1f_1} - k_{1f_2}$. Під дією на матеріал теплового поля вологість буде зменшуватись, зменшуватиметься також Δk . В момент часу, коли $\Delta k = 0$, вільна волога повністю випарувалась, значення $k_{f_1} = k_{f_2}$ відповідатиме кількості зв'язаної вологи в досліджуваному капілярно-пористому матеріалі і може бути використаним в якості ефективного інформативного параметра при її контролі.

Рівняння прямої, що проходить через дві точки (рис.2)

$$y_1 - y = \frac{y_1 - y_2}{x_1 - x_2} \cdot (x_1 - x) \quad (1)$$

шляхом нескладних перетворень отримує вигляд

$$y = \frac{y_1 - y_2}{x_1 - x_2} \cdot x + \frac{y_2 \cdot x_1 - y_1 \cdot x_2}{x_1 - x_2} = k \cdot x + b. \quad (2)$$

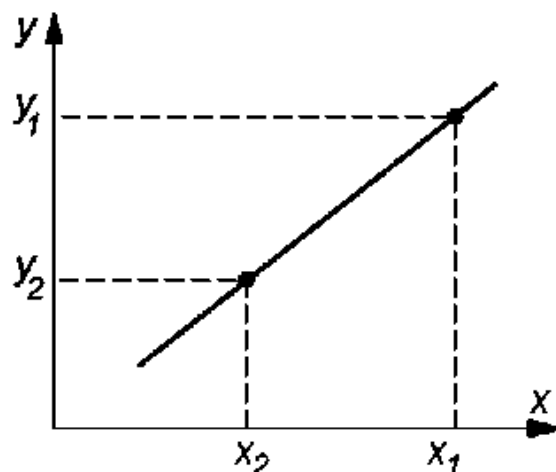


Рис.2. Визначення рівняння прямої

Рівняння прямої в загальній формі $Ax + Bx + C = 0$ також легко перетворюється до вигляду (2):

$$y = -\frac{A}{B} \cdot x - \frac{C}{B}. \quad (3)$$

З виразів (2) і (3) очевидно, що

$$B = x_1 - x_2; \quad A = y_1 - y_2; \quad C = y_2 \cdot x_1 - y_1 \cdot x_2. \quad (4)$$

Графіку $k(f_1)$ (рис.3) відповідає загальне рівняння:

$$A_1 \cdot W + B_1 \cdot k + C_1 = 0, \quad (5)$$

а графіку $k(f_2)$ – рівняння:

$$A_2 \cdot W + B_2 \cdot k + C_2 = 0. \quad (6)$$

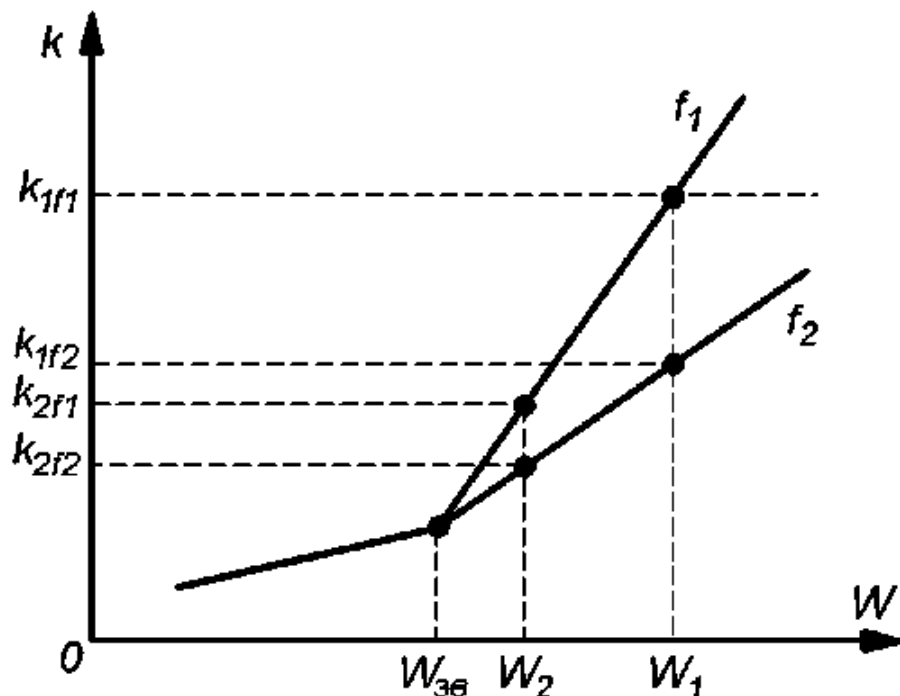


Рис.3. Залежність коефіцієнта діелектричних втрат від вологості для різних частот

Враховуючи вирази (4), (5) і (6) записуємо рівняння (5) і (6) в координатах вологості і коефіцієнта діелектричних втрат, об'єднуючи їх в систему:

$$\begin{cases} (k_{1f1} - k_{2f1}) \cdot W + (W_1 - W_2) \cdot k + (k_{2f1} \cdot W_1 - k_{1f1} \cdot W_2) = 0, \\ (k_{1f2} - k_{2f2}) \cdot W + (W_1 - W_2) \cdot k + (k_{2f2} \cdot W_1 - k_{1f2} \cdot W_2) = 0. \end{cases} \quad (7)$$

Визначаємо абсцису точки перетину цих графіків, яка є значенням зв'язаної вологості в матеріалі:

$$W_{3e} = \frac{(k_{2f2} \cdot W_1 - k_{1f2} \cdot W_2) - (k_{2f1} \cdot W_1 - k_{1f1} \cdot W_2)}{(k_{1f1} - k_{2f1}) - (k_{1f2} - k_{2f2})}. \quad (8)$$

Враховуючи, що в системі (7) $B_1 = B_2$, спрощуємо вираз (8):

$$W_{se} = \frac{W_1 \cdot (k_{2f2} - k_{2f1}) + W_2 \cdot (k_{1f1} - k_{1f2})}{(k_{1f1} - k_{2f1}) - (k_{1f2} - k_{2f2})}, \quad (9)$$

Одержаній вираз (9) є математичною моделлю, яка кількісно пов'язує зв'язану вологість з коефіцієнтом діелектричних втрат матеріалу.

Висновок

Отримана математична модель може бути покладена в основу побудови вологоміра зв'язаної вологи. Результати проведеного дослідження можуть бути використані в науково-дослідних установах аграрної та суміжних галузей.

Література:

1. Физико-технические основы влагометрии в пищевой промышленности / И. М. Федоткин, В. П. Клочков. – К. : Техника, 1974. – 320 с.
2. Лыков Алексей Васильевич. Теория сушки / А. В. Лыков. – М. : Энергия, 1968. – 472 с.

www.rusnauka.com

CERTYFIKA



Участника международной научной конференции

NAUKOWA MYSŁ INFORMACYJNEJ
POWIĘKI

Przemyśl, Poland

07 - 15 марта
2015

Секция:
Технические науки
Авторы:
Кущевол О.М., Кущевол М.О.

Доклад на тему:

Контроль зв'язаної вологи в капілярно-пористих
і сипких матеріалах органічного
походження



Председатель оргкомитета
dr hab. Jerzy Ciborowski

J. Ciborowski

NAUKA I STUDIA Sp.ka z.o.o
ul. Łukasiewicza 7 37-740 Przemyśl
NIP 7552324851, k. 356352-52